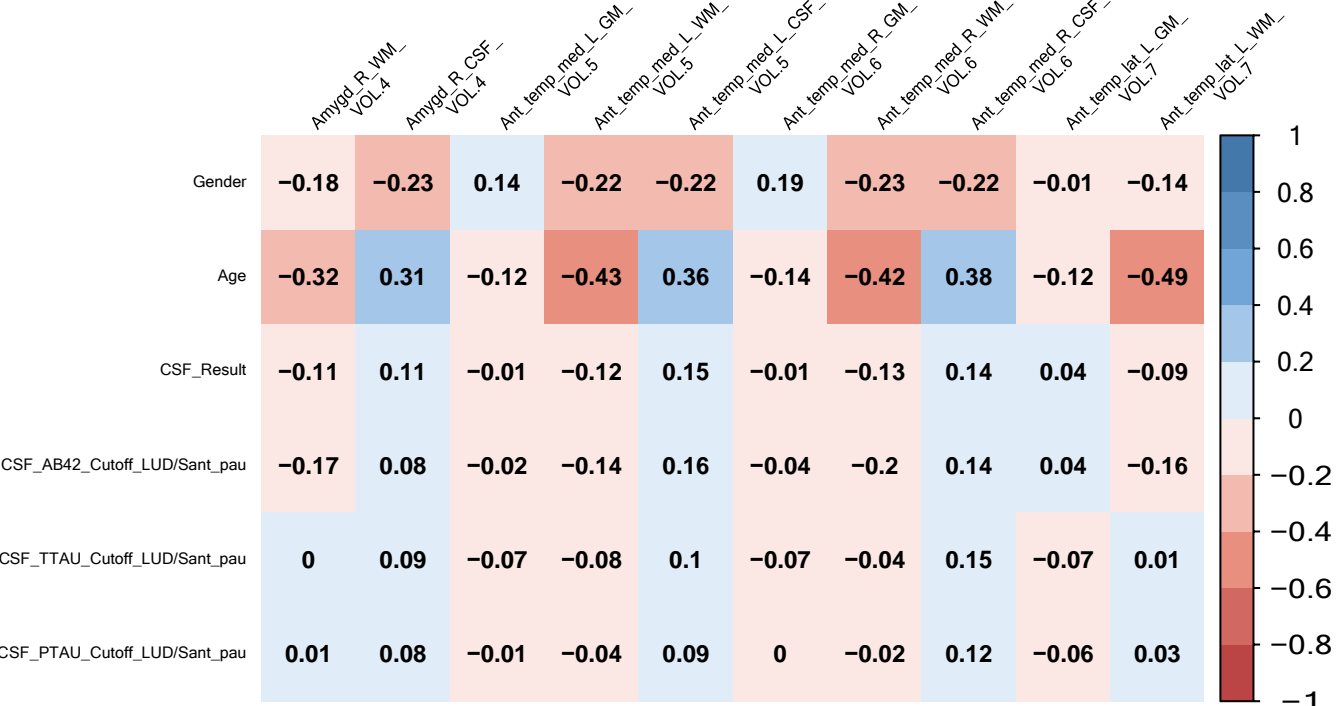
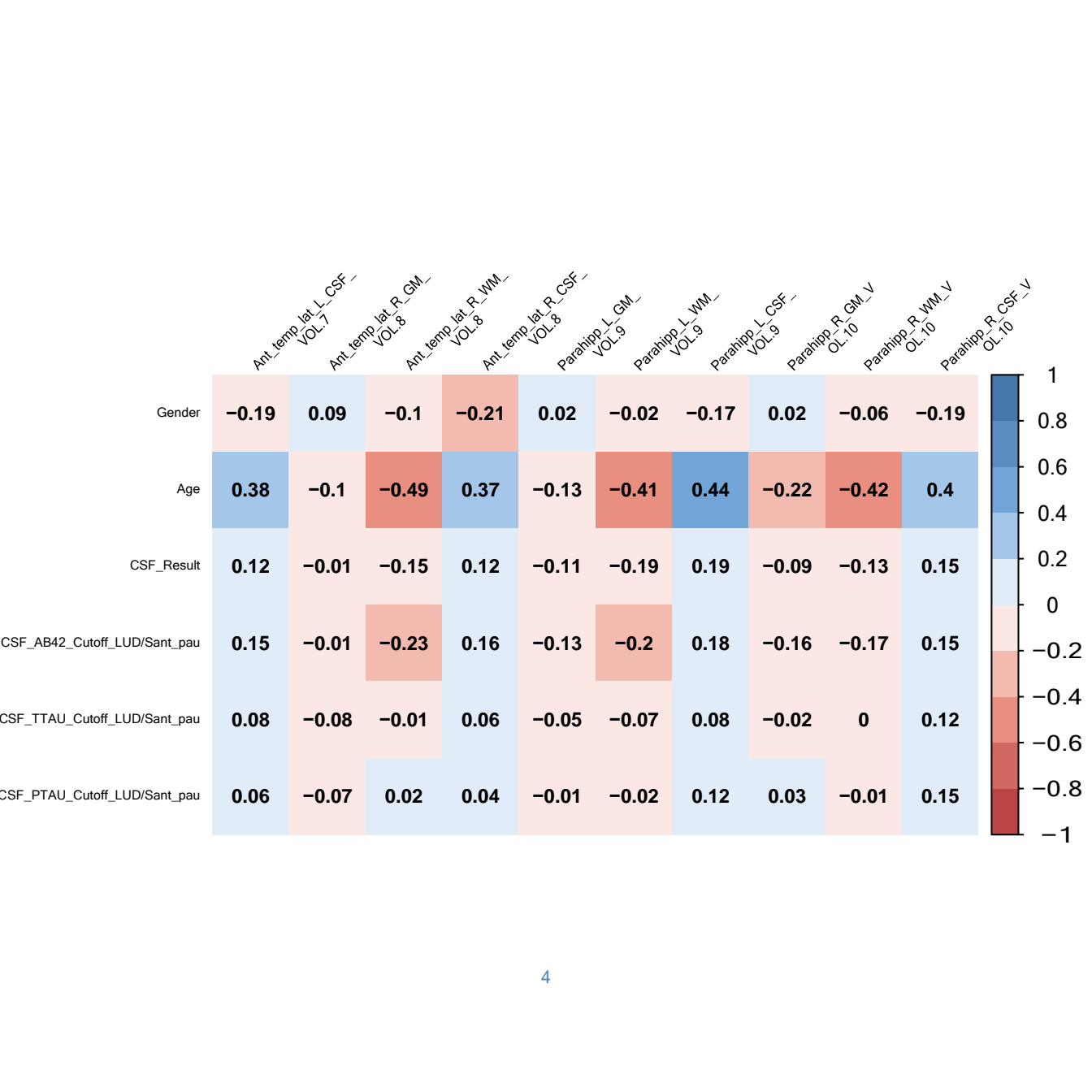


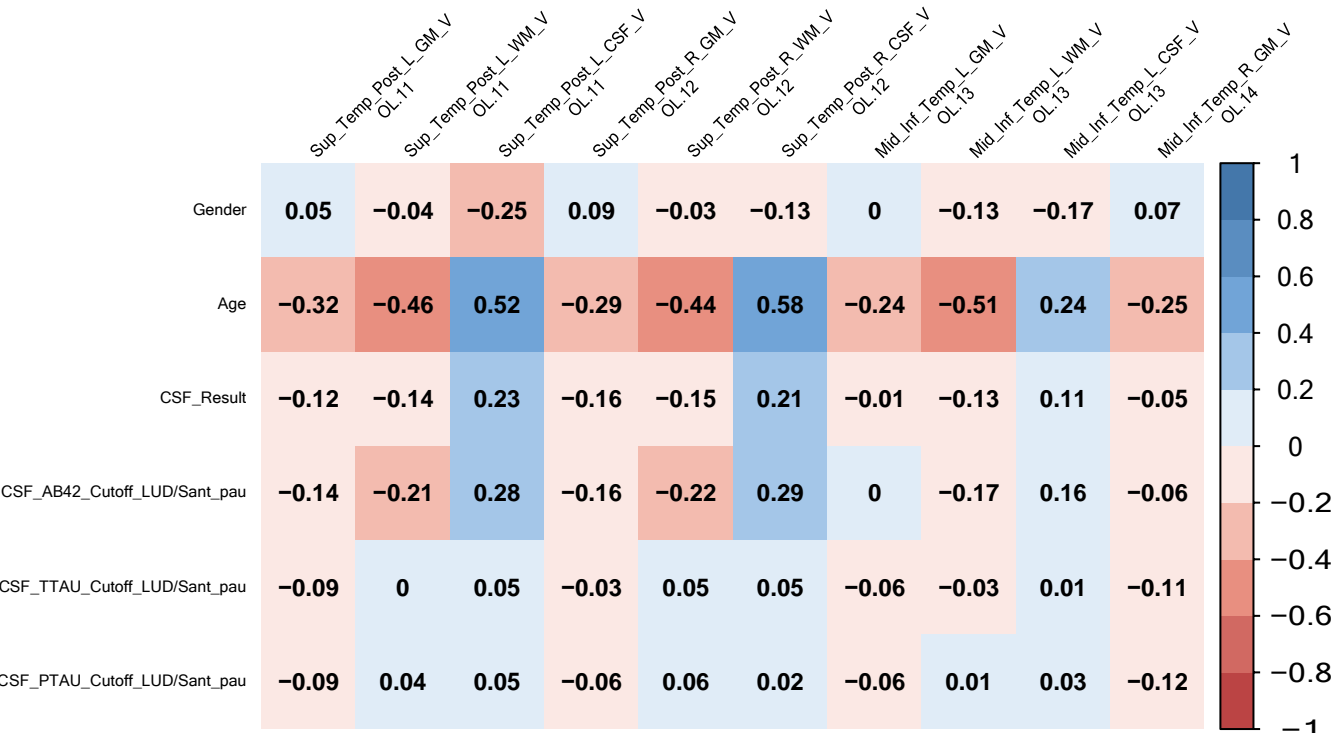
Apéndice 2

En este apéndice se incluyen las matrices de correlación de Pearson respecto a las columnas indicadoras de la enfermedad, con respecto a las 68 áreas por las que se compone el cerebro.

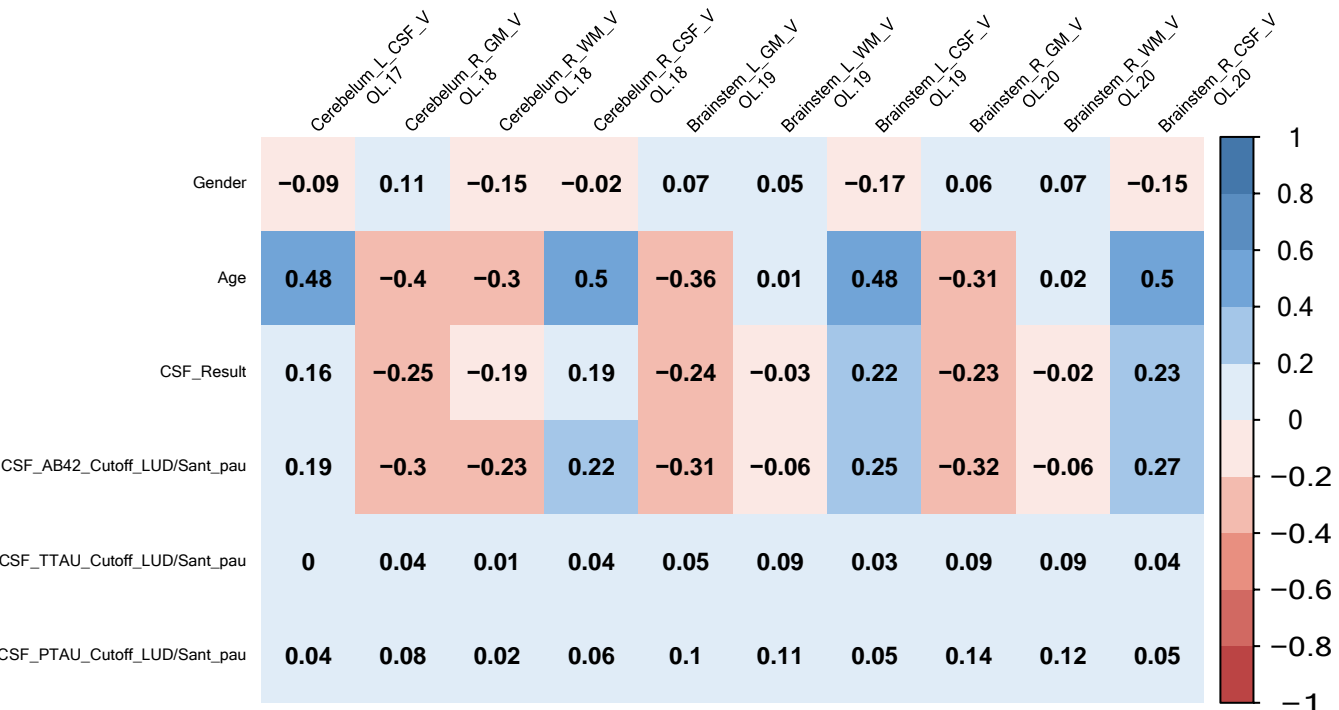


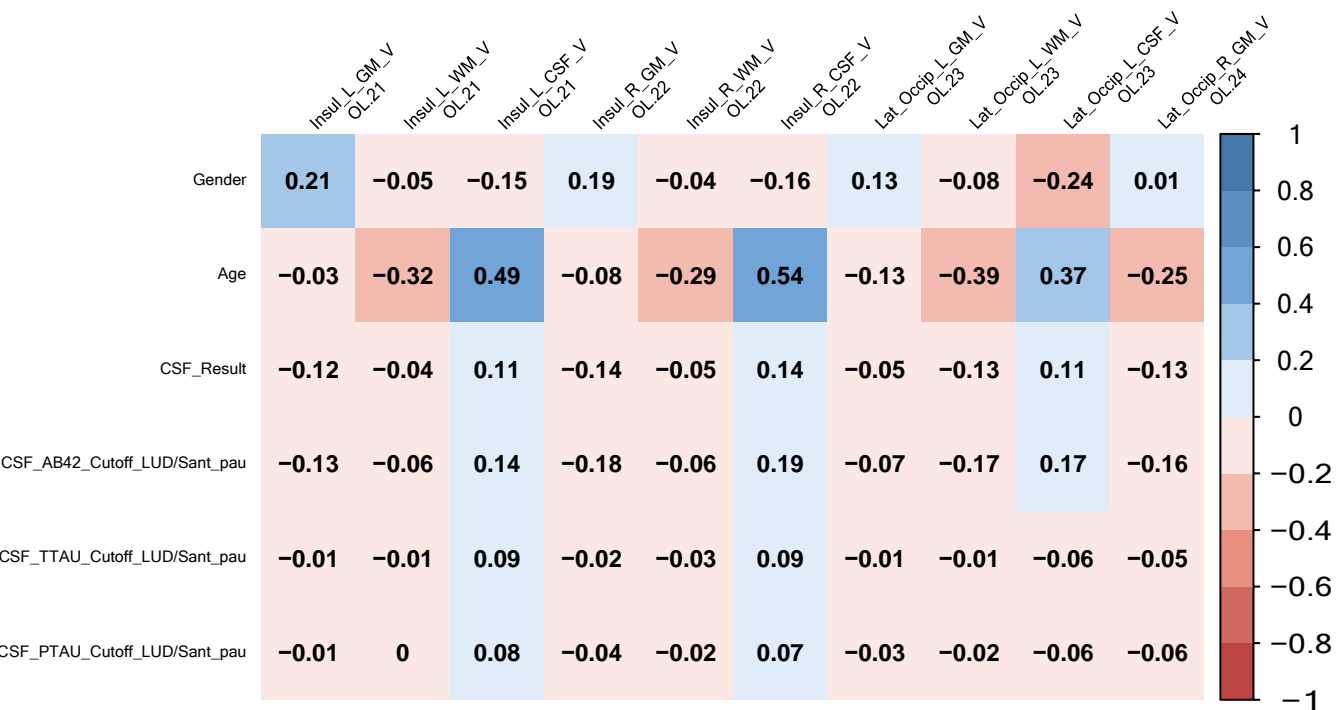


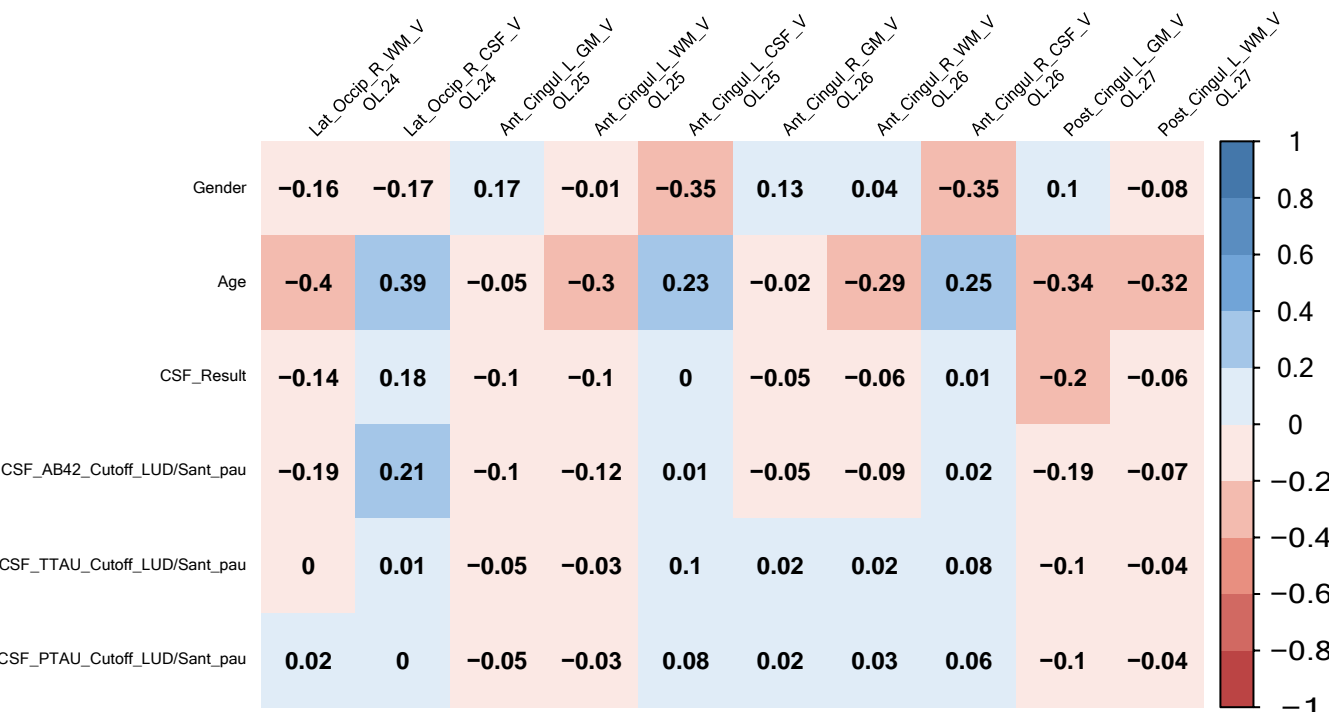


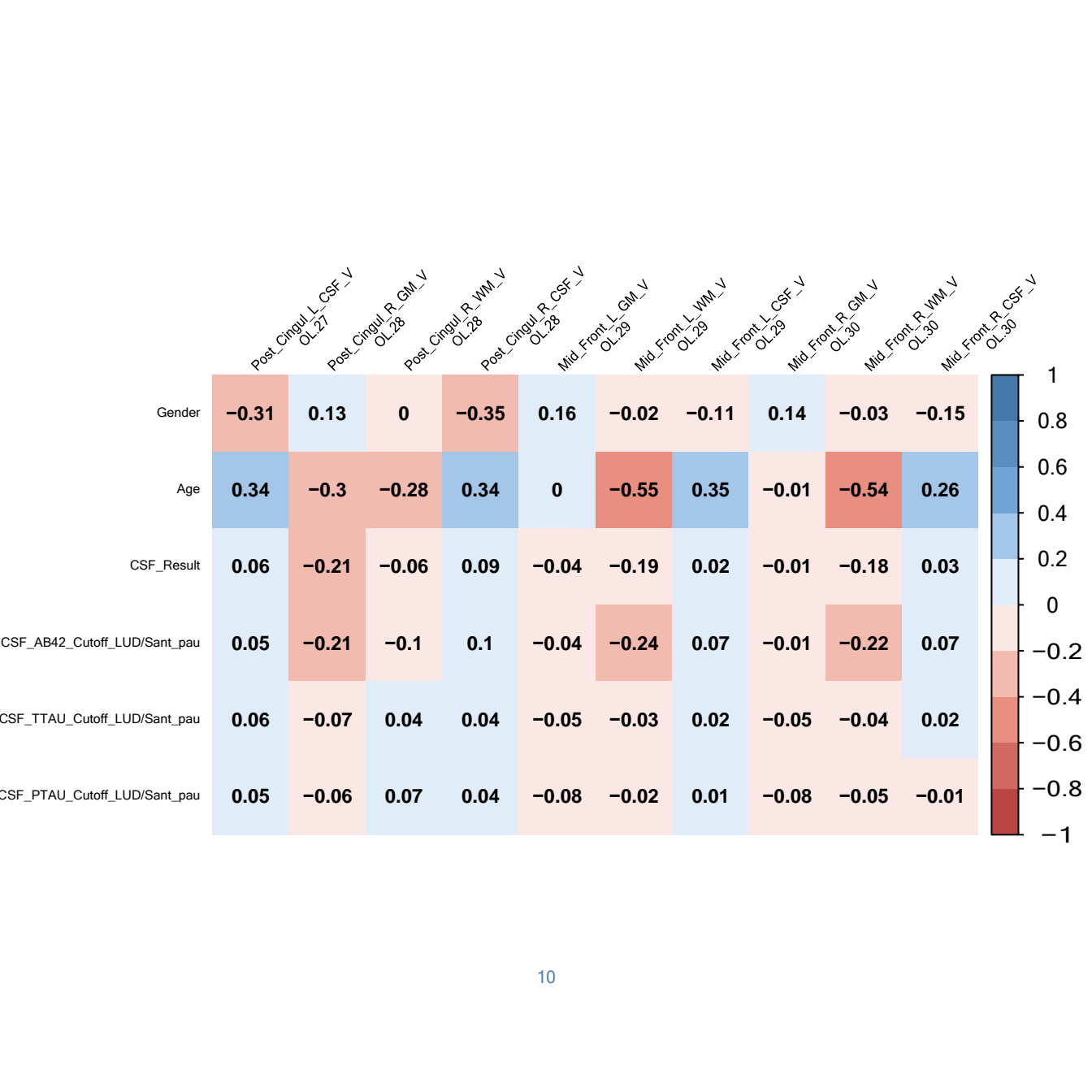


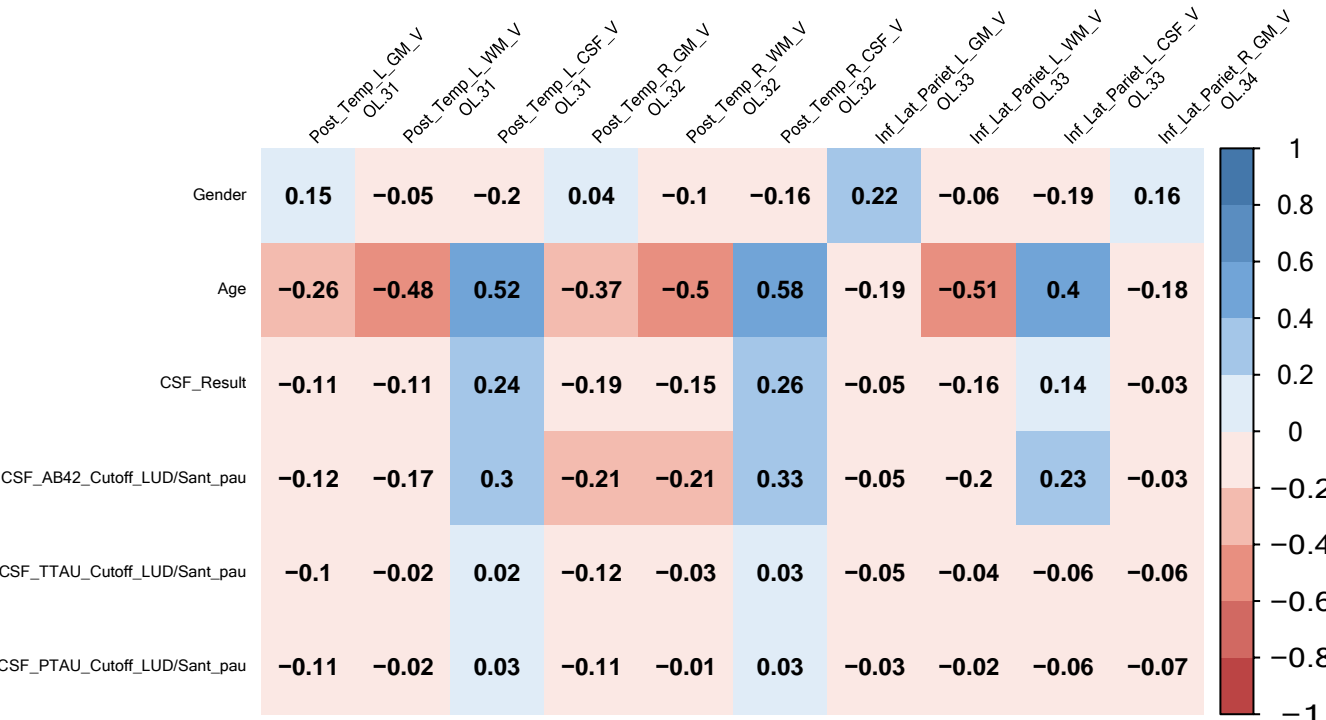


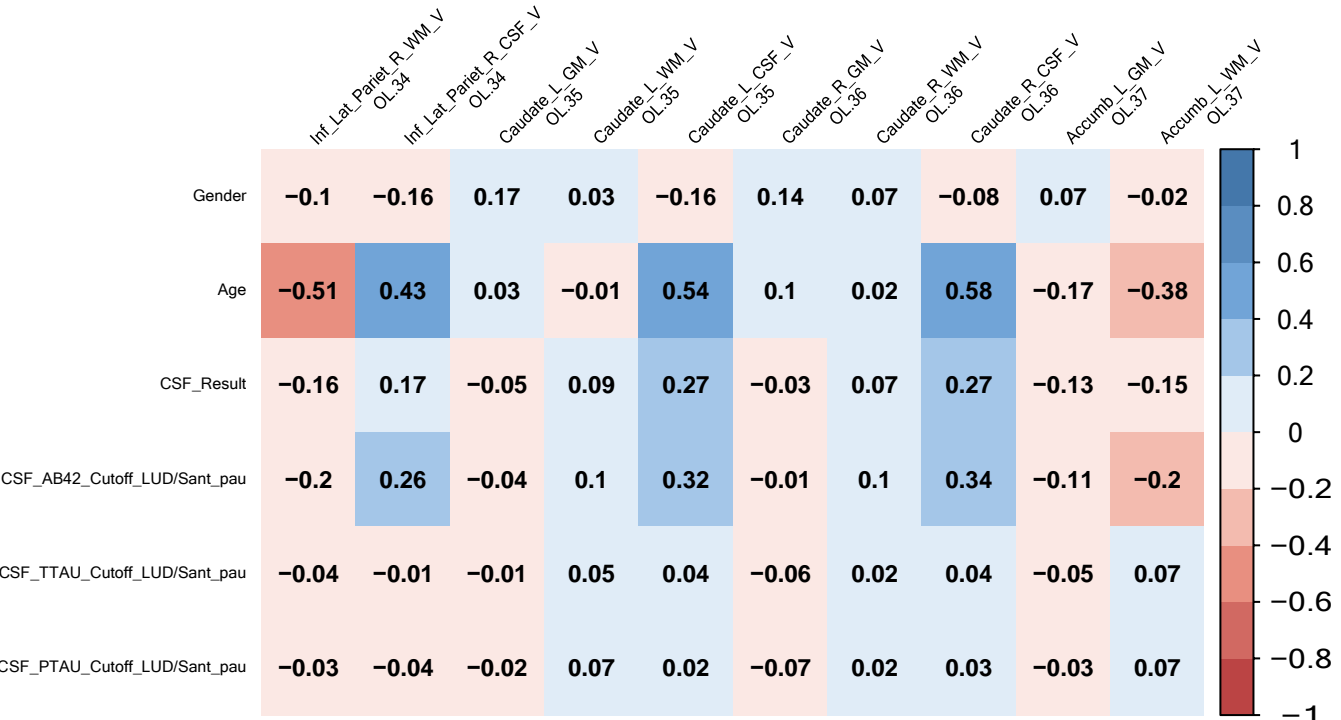


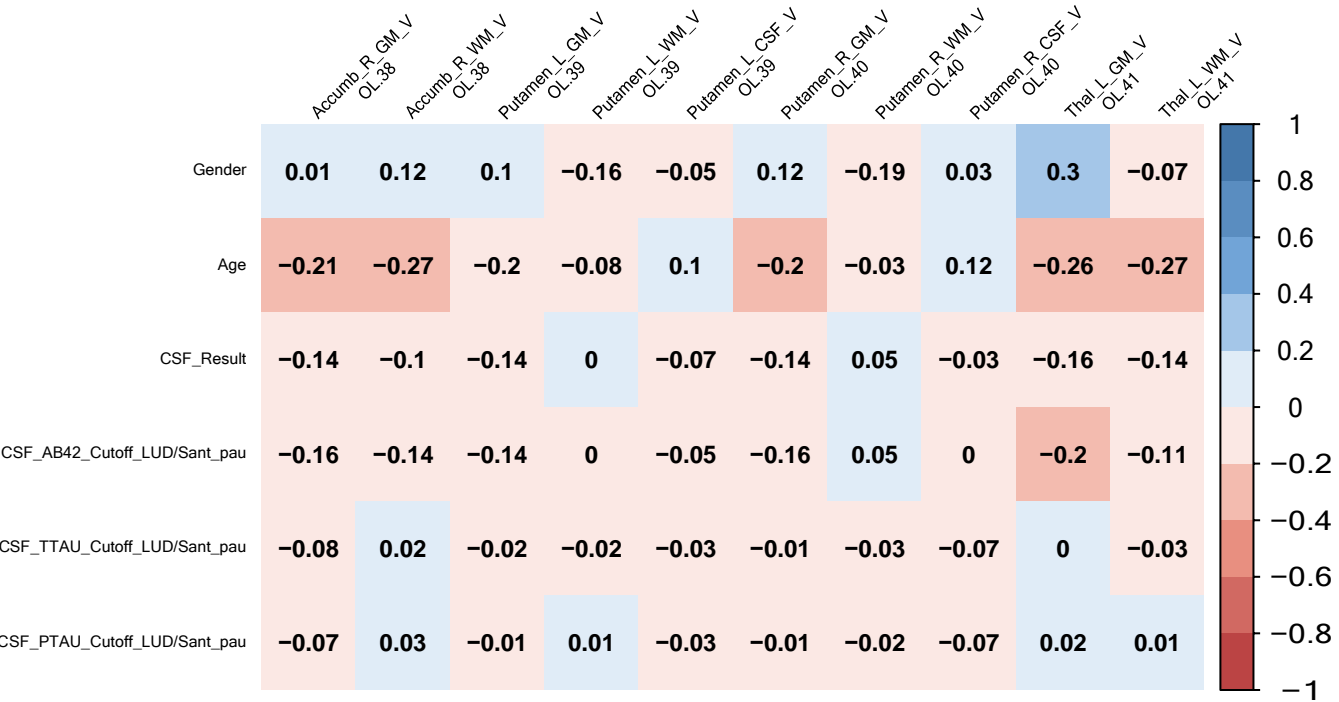


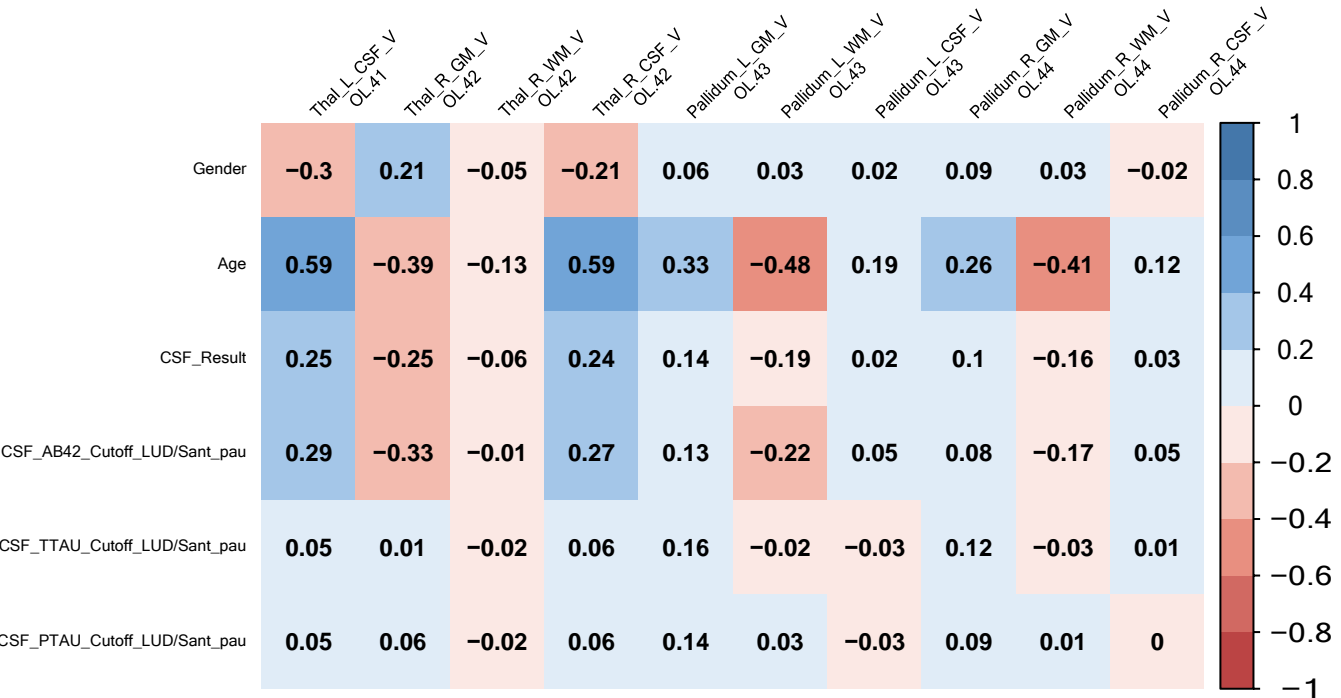


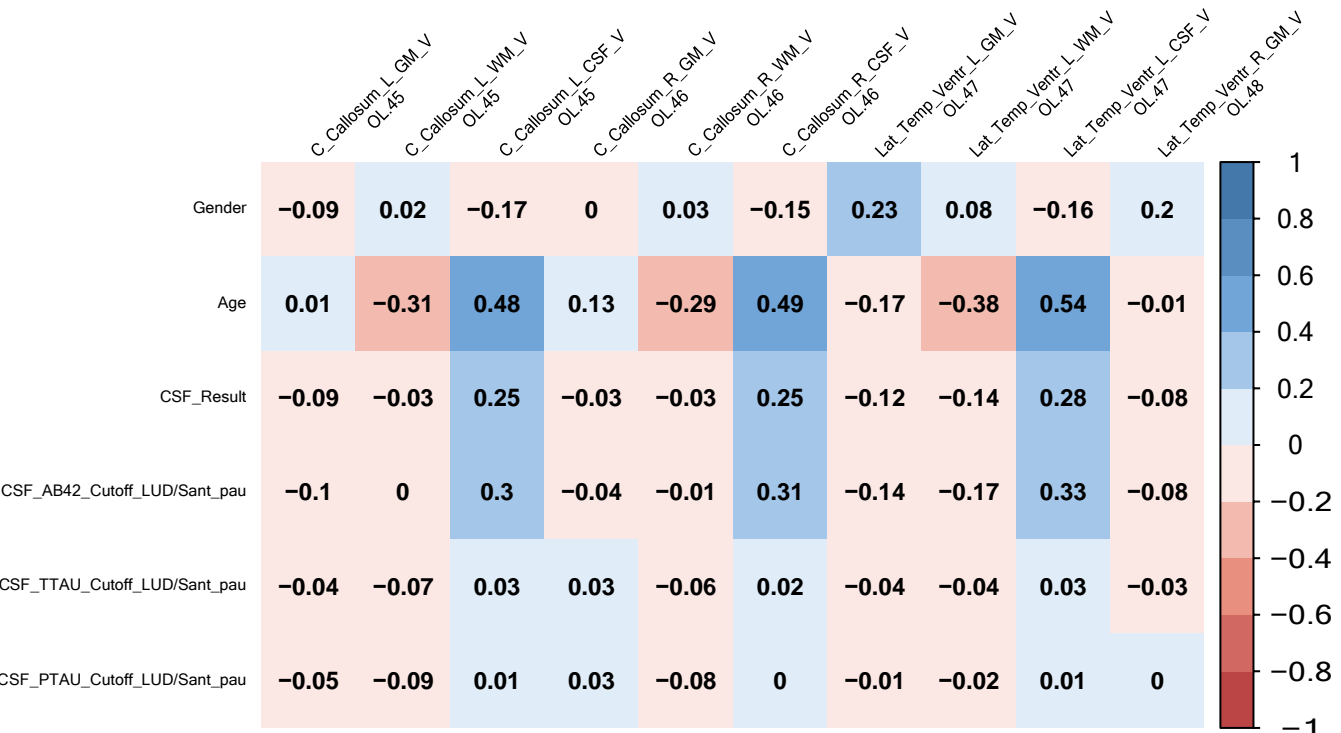


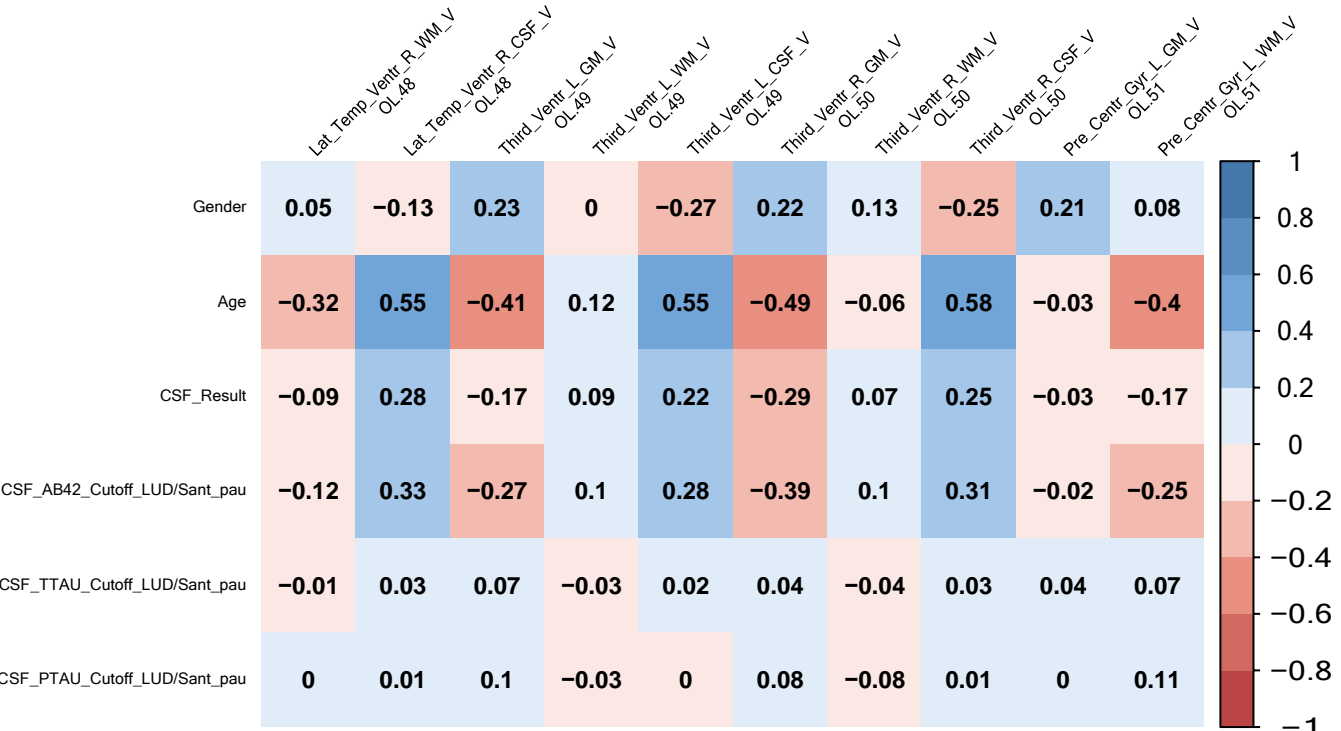


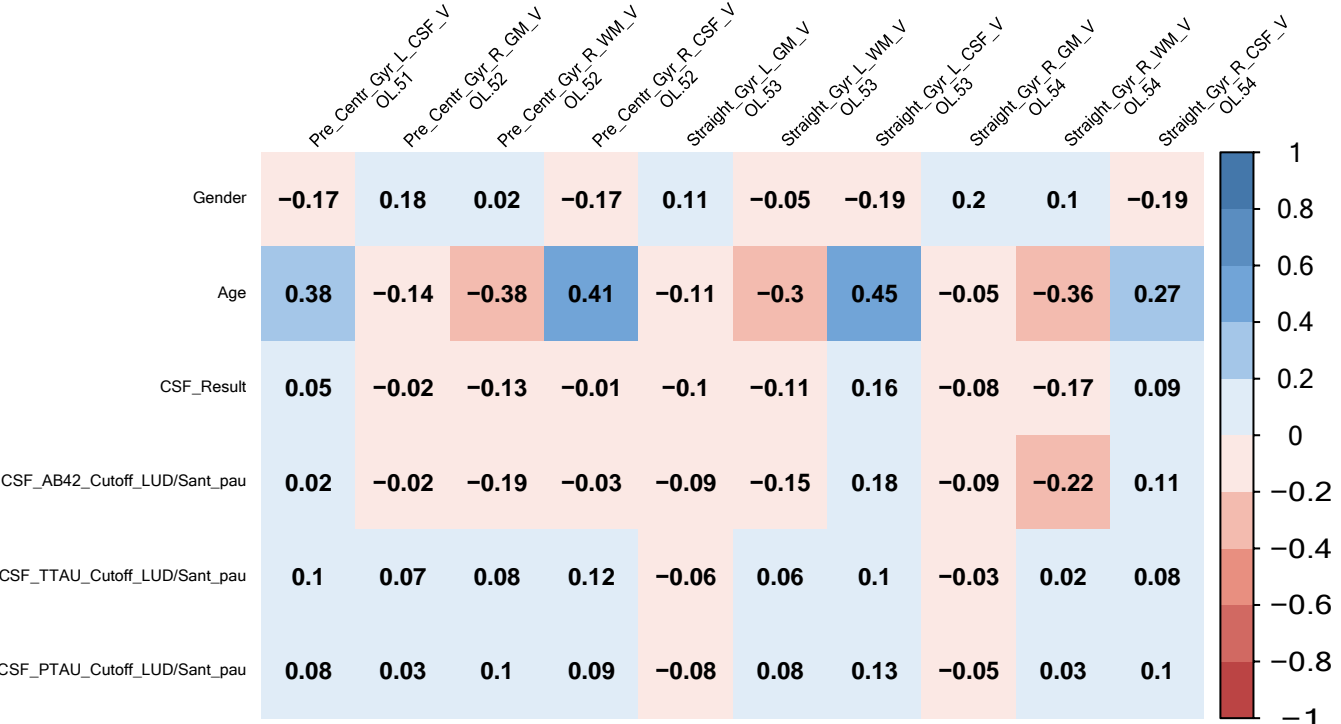


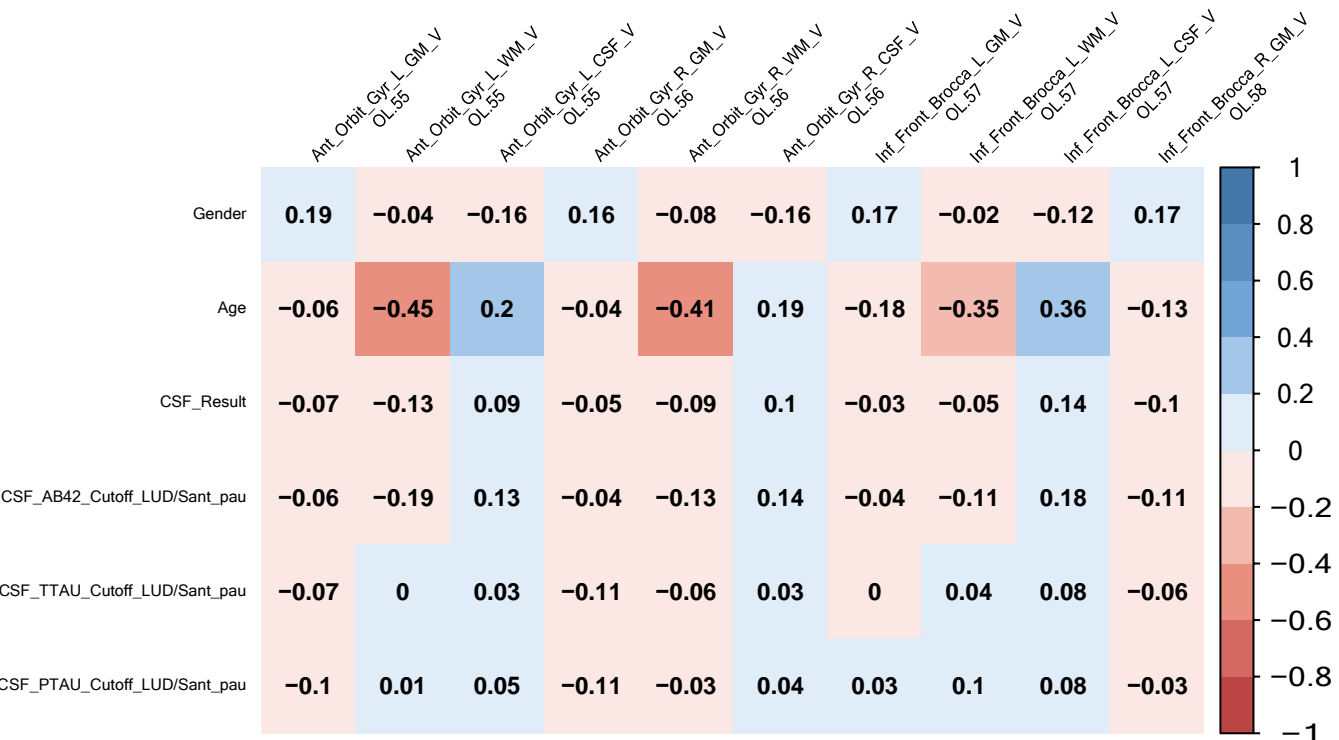












	Inf_Front_Brocca_R_WM_V OL_58	Inf_Front_Brocca_R_CSF_V OL_58	Sup_Front_Gyr_L_GM_V OL_59	Sup_Front_Gyr_L_WM_V OL_59	Sup_Front_Gyr_L_CSF_V OL_59	Sup_Front_Gyr_R_GM_V OL_60	Sup_Front_Gyr_R_WM_V OL_60	Sup_Front_Gyr_R_CSF_V OL_60	Post_Centr_Gyr_L_GM_V OL_61	Post_Centr_Gyr_L_WM_V OL_61
Gender	0.03	-0.07	0.24	0.01	-0.28	0.2	-0.01	-0.25	0.33	0.07
Age	-0.31	0.4	0.12	-0.48	0.27	0.15	-0.46	0.18	-0.08	-0.38
CSF_Result	-0.1	0.15	0.02	-0.14	-0.05	-0.02	-0.16	-0.1	-0.04	-0.15
CSF_AB42_Cutoff_LUD/Sant_pau	-0.13	0.19	0.02	-0.18	-0.07	-0.01	-0.22	-0.11	-0.03	-0.21
CSF_TTAU_Cutoff_LUD/Sant_pau	-0.02	0.07	0	0.01	0.12	-0.05	-0.02	0.11	0	0.07
CSF_PTAU_Cutoff_LUD/Sant_pau	0.04	0.05	-0.02	0.02	0.09	-0.09	-0.03	0.08	-0.01	0.09

